

بِسْمِ اللّٰهِ الرَّحْمٰنِ الرَّحِيْمِ



دانشگاه صنعتی اصفهان
دانشکده مهندسی برق و کامپیووتر

یادگیری تقویتی عمیق

گزارش پژوهش
پژوهیان ملکزاده

استاد

دکتر محمد حسین منشی

کلیه حقوق مادی مترقب بر نتایج مطالعات،
ابتكارات و نوآوری های ناشی از تحقیق
موضوع این گزارش پژوهه متعلق به دانشگاه
صنعتی اصفهان است.

فهرست مطالب

صفحه	عنوان
	فهرست مطالب پنج
	فهرست تصاویر شش
	فهرست جداول هفت
۱	چکیده ۱
	فصل اول: مقدمه
۳	۱- پیشنه تحقیق ۱
۳	۲- اهداف و دستاوردهای تحقیق ۲
۳	۳- ساختار گزارش ۳
	فصل دوم: مفاهیم پایه در یادگیری تقویتی
۴	۱- مسئله یادگیری تقویتی ۴
۵	۲- طبقه بندی الگوریتم های یادگیری تقویتی ۵
۵	۳-۱ الگوریتم های مدل-مبنا ۵
۶	۳-۲ الگوریتم های بدون مدل ۶
	فصل سوم: عوامل تأثیرگذار بر خاصیت بازتولیدی الگوریتم های یادگیری تقویتی
۸	۱-۳ پیش زمینه فنی ۸
۹	۲-۳ تحلیل آزمایشی ۹
۱۰	۳-۱ ابزار امترها ۱۰
۱۰	۳-۲-۱ دانه های تصادفی و تعداد آزمایش ها ۱۰
۱۱	۳-۲-۲ ویژگی های محیط ۱۱
۱۲	۳-۲-۳ معماری شبکه ۱۲
۱۴	۳-۲-۴ کدهای پایه ۱۴
۱۴	۳-۲-۵ گزارش معیارهای ارزیابی ۱۴
۱۵	۳-۳-۱ تفاوت بین مشاهده بر خط و پیشنهادی سیاست ۱۵
۱۵	۳-۳-۲ فوائل اطمینان ۱۵
۱۶	۳-۳-۳ تحلیل توان ۱۶
۱۶	۳-۳-۴ اهمیت ۱۶
۱۷	۴-۳ نتیجه کلی ۱۷
۱۸	پیوست ۱۸
۲۰	مراجع ۲۰

فهرست تصاویر

۳	۱-۱
۵	۱-۲
۷	۲-۲
۱۱	۱-۳
۱۲	۲-۳
۱۳	۳-۳
۱۴	۳-۴
۱۹	۱-۷

فهرست جداول

١٣	١-٣
١٣	٢-٣
١٢	٣-٣

چکیده

در سال‌های اخیر، پیشرفت‌های قابل توجهی در حل مسائل چالش برانگیز در حوزه‌های مختلف با استفاده از یادگیری تقویتی عمیق^۱ حاصل شده است. باز تولید^۲ کارهای موجود و ارزیابی دقیق بهبودهای ارائه شده توسط روش‌های جدید برای حفظ این پیشرفت‌ها بسیار مهم است. متأسفانه، باز تولید نتایج برای روش‌های پیشرفته یادگیری عمیق تقویتی اغلب به سادگی امکان‌پذیر نیست. به ویژه، غیرقابل پیش‌بینی بودن محیط‌های استاندارد معیار، همراه با واریانس^۳ ذاتی در روش‌ها، می‌تواند تفسیر نتایج گزارش شده را دشوار کند. بدون معیار^۴های معنادار و استانداردسازی دقیق گزارش‌های آزمایشی، دشوار است که مشخص کنیم آیا بهبودها نسبت به حالت پیشرفته قبلی معنادار هستند یا خیر. در این مقاله، چالش‌های مربوط به قابلیت باز تولید، تکنیک‌های آزمایشی صحیح و روش‌های گزارش‌دهی را بررسی می‌کنیم. ما به وضوح نشان می‌دهیم که چقدر متغیر بودن متریک^۵ها و نتایج گزارش شده هنگام مقایسه با مبنای‌های رایج می‌تواند منفاوت باشد و پیشنهاداتی برای راهنمایی جهت قابل باز تولید تر شدن نتایج در یادگیری تقویتی عمیق ارائه می‌دهیم. هدف ما ایجاد بحث در مورد چگونگی تضمین پیشرفت مستمر در این حوزه با به حداقل رساندن تلاش‌های هدر رفته ناشی از نتایج غیرقابل باز تولید و به راحتی قابل تفسیر است.

واژه‌های کلیدی: ۱- یادگیری تقویتی عمیق، ۲- قابلیت باز تولید، ۳- تکنیک‌های آزمایشی، ۴- محیط‌های معیار

¹ Deep Reinforcement Learning

² Reproducing

³ Variance

⁴ Benchmark

⁵ Metric

فصل اول

مقدمه

یادگیری تقویتی (RL) شاخه‌ای از مطالعه است که به بررسی چگونگی تعامل یک عامل^۱ با محیط^۲ خود برای یادگیری یک سیاست^۳ که هدف آن بیشینه کردن پاداش‌های تجمعی^۴ مورد انتظار برای یک وظیفه^۵ است، می‌پردازد. در سال‌های اخیر، یادگیری تقویتی به دلیل نتایج امیدبخش در زمینه‌هایی مانند کنترل سیستم‌های پیوسته در رباتیک^[۱]، بازی شطرنج^[۲]، بازی‌های آثاری^[۳] و بازی‌های ویدئویی رقابتی^[۴] و^[۵] توجه و علاقه زیادی را به خود جلب کرده است. شکل ۱-۱ رشد این زمینه را از طریق تعداد مقالات منتشر شده در هر سال نشان می‌دهد. برای حفظ پیشرفت سریع در تحقیقات یادگیری تقویتی، مهم است که کارهای موجود به راحتی قابل بازتولید و مقایسه باشند تا بتوان به دقت بهبودهای ارائه شده توسط روش‌های نوین را ارزیابی کرد. با این حال، بازتولید نتایج یادگیری عمیق تقویتی اغلب ساده نیست و ادبیات این حوزه نتایج متنوعی برای همان الگوریتم‌های پایه گزارش می‌دهد^[۶]. بازتولیدپذیری می‌تواند تحت تأثیر عوامل خارجی (مانند ابرپارامتر^۸ها یا کدهای پایه^۹ استفاده شده) و عوامل داخلی (مانند اثرات دانه‌های تصادفی^{۱۰} یا خواص محیط) قرار گیرد. ما این منابع تفاوت در نتایج گزارش شده را از طریق یک مجموعه نماینده از آزمایش‌ها بررسی می‌کنیم. برای شفافیت، تمرکز خود را بر روی روش‌های گرادیان سیاست^[۱۱] (PG) در کنترل پیوسته^[۱۲] قرار می‌دهیم. روش‌های گرادیان سیاست با استفاده از تقریب‌زن^[۱۳]های قابع شبکه عصبی^[۱۴] به ویژه در کنترل پیوسته موفق بوده‌اند^[۱]،^[۷] و^[۸] در محیط‌های گستره با روش‌های مبتنی بر ارزش^[۱۵] رقابت می‌کنند. توجه داریم که تنوع معیارها و عدم وجود تست‌های معناداری در ادبیات یادگیری تقویتی پتانسیل گزارش نتایج گمراه کننده^[۱۶] را ایجاد می‌کند. ما فواید استفاده از تست‌های معنادار را با استفاده از تکنیک‌های رایج در یادگیری ماشین^[۱۷] و روش‌های آماری نشان می‌دهیم.

¹ Interaction

² Agent

³ Environment

⁴ Policy

⁵ Reward

⁶ Cumulative

⁷ Task

⁸ Hyperparameter

⁹ Codebases

¹⁰ Random Seeds

¹¹ Policy Gradient

¹² Continuous Control

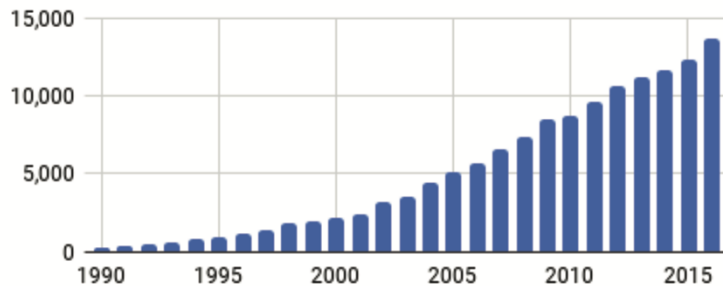
¹³ Approximator

¹⁴ Neural Network

¹⁵ Value

¹⁶ Misleading

¹⁷ Machine Learning



شکل ۱-۱: رشد مقالات منتشر شده در زمینه یادگیری تقویتی. در این شکل، تعداد مقالات مرتبط با یادگیری تقویتی (محور y) در هر سال (محور x) که از جستجوهای Google Scholar استخراج شده‌اند، نشان داده شده است.

۱-۱ پیشینه تحقیق

تاکنون چندین پژوهش به ارزیابی الگوریتم‌های یادگیری تقویتی پرداخته‌اند. در [۹] چندین الگوریتم یادگیری تقویتی مبنا قرار گرفته و پیاده‌سازی‌های پایه را برای جامعه علمی فراهم می‌کنند. معیارهای ارزیابی قابل تعمیم یا گیری تقویتی در [۱۰] پیشنهاد شده است. در [۱۱] محیط یادگیری Arcade را بازیابی کرده و روش‌های ارزیابی بهتری را در این مبنای پیشنهاد می‌دهند. با این حال، در حالی که موضوع بازتولیدپذیری و تمرین‌های تجربی در زمینه‌های مرتبط مورد بررسی قرار گرفته است؛ تا آنجا که می‌دانیم [۱۲]، [۱۳]، [۱۴]، [۱۵]، [۱۶] و [۱۷] اولین کاری است که این سوال مهم را در زمینه یادگیری تقویتی عمیق بررسی می‌کند.

۱-۲ اهداف و دستاوردهای تحقیق

در هر بخش از تحلیل، سوالاتی را در مورد عوامل کلیدی تأثیرگذار بر خاصیت بازتولیدی مطرح می‌کنیم و می‌بینیم که منابع متعدد عدم قطعیت^۱ در بازتولید و مقایسه الگوریتم‌های یادگیری تقویتی وجود دارد. به این منظور، نشان می‌دهیم که جزئیات دقیق روش تجربی می‌تواند بسیار مهم باشد. بر اساس آزمایش‌های انجام شده توسط ما به این نتیجه می‌رسیم که با توصیه‌ها، خطوط تحقیقات و نقاط بحثی برای کارهای آینده، یادگیری تقویتی عمیق قابل بازتولید بوده و همچنان اهمیت دارد.

۱-۳ ساختار گزارش

در فصل دوم، به طور کلی به بررسی مطالعه یادگیری تقویتی و الگوریتم‌های آن می‌پردازیم. در این بخش، به بررسی اصول و مبانی یادگیری و نیز الگوریتم‌های مهم در این حوزه می‌پردازیم. در فصل سوم، به طور کلی به بررسی عوامل تأثیرگذار بر خاصیت بازتولیدی الگوریتم‌های یادگیری تقویتی می‌پردازیم. در این بخش، عوامل خارجی و داخلی که می‌توانند بر فرایند بازتولید نتایج تأثیرگذار باشند را مورد بررسی قرار می‌دهیم و روش‌های مختلف برای کاهش عدم قطعیت در بازتولید نتایج را بررسی می‌کنیم.

^۱ Nondeterminism

فصل دوم

مفاهیم پایه در یادگیری تقویتی

۱-۲ مسئله یادگیری تقویتی

مسئله یادگیری تقویتی به عنوان یک چارچوب ساده برای یادگیری از تعامل به منظور دستیابی به هدف مطرح شده است. در این چارچوب، یادگیرنده و تصمیم‌گیرنده به عنوان عامل شناخته می‌شوند. هر چیزی که عامل با آن تعامل دارد و شامل تمام چیزهایی است که خارج از عامل قرار دارند، محیط نامیده می‌شود. این دو به طور مداوم با یکدیگر تعامل دارند، به این صورت که عامل اقدامات^۱ را انتخاب می‌کند و محیط به این اقدامات پاسخ داده و وضعیت‌های جدیدی را به عامل ارائه می‌دهد. محیط همچنین پاداش‌هایی به شکل مقادیر عددی، ارائه می‌دهد که عامل سعی در بیشینه‌سازی آن‌ها در طول زمان دارد. یک تعریف کامل از محیط، یک وظیفه را تعریف می‌کند که یک نمونه از مسئله یادگیری تقویتی است.

به طور خاص، عامل و محیط در هر دنباله از گام‌های زمانی^۲ مجزا، با هم تعامل دارند ($t = 0, 1, 2, 3, \dots$):

در هر گام زمانی t ، عامل یک نمایش از وضعیت محیط دریافت می‌کند، $S_t \in S$ که در آن S مجموعه‌ای از وضعیت‌های ممکن است. سپس بر اساس آن، یک اقدام انتخاب می‌کند، $A_t \in A(S_t)$ که در آن $A(S_t)$ مجموعه‌ای از اقدامات موجود در وضعیت S_t است. در گام زمانی بعد، عامل یک پاداش عددی، به عنوان نتیجه‌ای از اقدام خود دریافت می‌کند، $R_{t+1} \in R$ و خود را در وضعیت جدیدی می‌یابد، S_{t+1} .

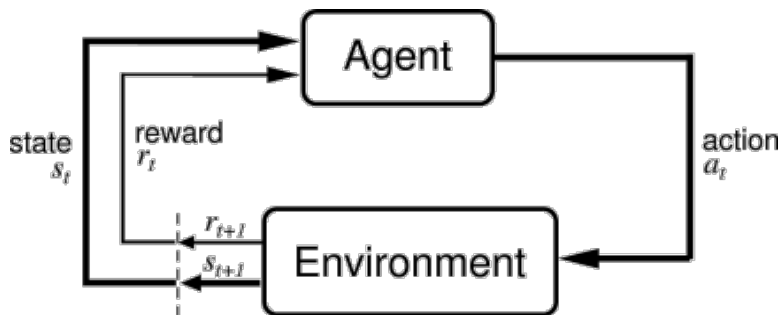
شكل ۱-۲ تعامل عامل و محیط را نشان می‌دهد. در هر گام زمانی، عامل یک نگاشت^۳ از وضعیت‌ها به احتمال انتخاب هر اقدام ممکن، پیاده‌سازی می‌کند. این نگاشت سیاست عامل نامیده می‌شود و به صورت $\pi_t(a|s)$ نمایش داده می‌شود، که در آن احتمال این است که $A_t = a$ گر $S_t = s$ باشد.

¹ Actions

² State

³ Timesteps

⁴ Mapping



شکل ۲-۱: تعامل عامل-محیط در یادگیری تقویتی

روش‌های یادگیری تقویتی مشخص می‌کنند که چگونه عامل سیاست خود را به عنوان نتیجه‌ای از تجربه‌اش تغییر می‌دهد. هدف عامل، به طور خلاصه، بیشینه‌سازی مجموع کل پاداشی است که در طولانی مدت دریافت می‌کند.

۲-۲ طبقه‌بندی الگوریتم‌های یادگیری تقویتی

الگوریتم‌های یادگیری تقویتی به دو دسته کلی مدل-مبنای^۲ و بدون مدل^۳ تقسیم می‌شوند. منظور از مدل محیط، هر چیزی است که یک عامل می‌تواند از آن استفاده کند تا پیش‌بینی^۴ کند محيط چگونه به اقداماتش پاسخ می‌دهد. مدل، با داشتن یک حالت و یک عمل، پیش‌بینی می‌کند که حالت بعدی و پاداش بعدی چه خواهد بود. برخی مدل‌ها توصیفی از تمامی حالت‌های ممکن و احتمالات آنها ارائه می‌دهند که به آنها مدل‌های توزیعی^۵ می‌گوییم. مدل‌های دیگر فقط یکی از حالت‌ها را با توجه به احتمالات انتخاب می‌کنند که به آنها مدل‌های نمونه‌ای^۶ می‌گوییم. مدل‌ها می‌توانند برای تقلید^۷ یا شبیه‌سازی^۸ تجربه استفاده شوند. با داشتن یک حالت شروع و یک عمل، یک مدل نمونه‌ای یک انتقال^۹ ممکن را تولید می‌کند و یک مدل توزیعی تمامی انتقال‌های ممکن را با توجه به احتمالات آنها تولید می‌کند. با داشتن یک حالت شروع و یک سیاست، یک مدل نمونه‌ای می‌تواند یک روند^{۱۰} کامل تولید کند و یک مدل توزیعی تمامی روند‌های ممکن و احتمالات آنها را تولید می‌کند. در هر دو حالت، می‌گوییم مدل برای شبیه‌سازی محیط و تولید تجربه شبیه‌سازی شده استفاده می‌شود [۱۸]. در ادامه به توضیح این دو دسته و الگوریتم‌های مرتبط با هر کدام می‌پردازیم.

۱-۲-۲ الگوریتم‌های مدل-مبنای

در روش‌های مدل-مبنای، عامل به یک مدل از محیط دسترسی دارد یا آن را یاد می‌گیرد. عامل‌ها می‌توانند نتایج پیش‌بینی شده را در سیاست یادگرفته شده اعمال کنند. در این روش به دلیل پیش‌بینی‌های انجام شده، عواقب^{۱۱} احتمالی سنجیده می‌شود و عامل می‌تواند تصمیمات^{۱۲} بهتری بگیرد، اما یادگیری مدل محیط چنان آسان نیست و پیچیدگی‌هایی را ایجاد می‌کند.

¹ Experience

² Model-Based

³ Model-Free

⁴ Predict

⁵ Distribution Models

⁶ Sample Model

⁷ Imitation

⁸ Simulation

⁹ Transition

¹⁰ Episode

¹¹ Consequences

¹² Decisions

۲-۲-۲ الگوریتم های بدون مدل

در روش‌های بدون مدل، عامل به مدل محیط دسترسی ندارد و به جای آن، مستقیماً از تعامل با محیط یادگیری می‌کند. در این روش‌ها، دو رویکرد اصلی برای آموزش^۱ عامل وجود دارد:

بھینه‌سازی^۲ سیاست: روش‌های بھینه‌سازی سیاست، سیاست را به صورت واضحی به شکل $(a|s) \pi_\theta$ نمایش می‌دهند. آن‌ها پارامترهای θ را به دو روش بھینه‌سازی می‌کنند: یا به طور مستقیم با استفاده از گرادیان افزایشی^۳ بر روی هدف عملکرد^۴ $J(\pi_\theta)$ ، یا به طور غیر مستقیم با بھینه‌سازی^۵ تقریب‌های محلی $J(\pi_\theta)$. در اینجا، $J(\pi_\theta)$ نشان‌دهنده تابع هدف عملکرد است که میزان عملکرد سیاست π_θ را ارزیابی می‌کند و نشان می‌دهد که این سیاست چقدر خوب عمل می‌کند. این بھینه‌سازی تقریباً همیشه به صورت بر-سیاست^۶ انجام می‌شود، به این معنا که هر بروزرسانی^۷ فقط از داده‌هایی استفاده می‌کند که در حین اجرای نسخه جدید سیاست جمع‌آوری شده‌اند. بھینه‌سازی سیاست معمولاً شامل یادگیری یک تقریب‌زن برای تابع ارزش^۸ روی سیاست $V_\phi(s)$ نیز می‌شود، که در تعیین نحوه بروزرسانی سیاست مورد استفاده قرار می‌گیرد.

- الگوریتم PPO^۹ از طریق بروزرسانی‌هایی که به طور غیرمستقیم عملکرد را به حداقل می‌رساند عمل می‌کند. این

الگوریتم به جای اینکه مستقیماً هدف عملکرد $J(\pi_\theta)$ را بھینه‌سازی کند، یک تابع هدف جایگزین را به حداقل می‌رساند که یک تخمین محافظه‌کارانه^{۱۰} از میزان تغییر $J(\pi_\theta)$ در نتیجه بروزرسانی‌ها ارائه می‌دهد.

- الگوریتم TRPO^{۱۱} سیاست را به گونه‌ای بروزرسانی می‌کند که تغییرات آن محدود به یک ناحیه اطمینان^{۱۲} باشد. این کار باعث می‌شود تغییرات پایدارتر و کنترل شده‌تر باشند و از نوسانات شدید جلوگیری شود.

- الگوریتم ACKTR^{۱۳} به جای اینکه مستقیماً هدف عملکرد $J(\pi_\theta)$ را بھینه‌سازی کند، از نواحی اطمینان برای بروزرسانی‌های پایدار و کارآمد سیاست بهره می‌برد. نواحی اطمینان تضمین می‌کنند که تغییرات سیاست به شکلی پایدار و کنترل شده انجام شود.

یادگیری-Q^{۱۴}: در این رویکرد، یک تقریب‌زن $Q_\theta(s, a)$ برای تابع ارزش-عمل بھینه $(s, a) Q^*$ یاد گرفته می‌شود. این بھینه‌سازی معمولاً بر اساس معادله بلمن^{۱۵} و اکثرأ به صورت بدون-سیاست^{۱۶} انجام می‌شود، به این معنا که بدون توجه به اینکه عامل چگونه محیط را جستجو^{۱۷} کرده است، هر بروزرسانی می‌تواند از داده‌های جمع‌آوری شده در هر زمان از

¹ Training

² Optimization

³ Gradient Ascent

⁴ Performance

⁵ Maximizing

⁶ On-Policy

⁷ Update

⁸ Value Function

⁹ Proximal Policy Optimization

¹⁰ Conservative

¹¹ Trust Region Policy Optimization

¹² Trust Region

¹³ Actor-Critic using Kronecker-Factored Trust Region

¹⁴ Q-Learning

¹⁵ Bellman Equation

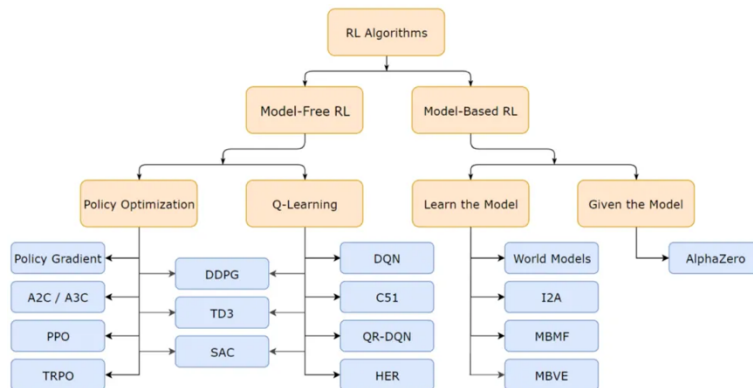
¹⁶ Off-Policy

¹⁷ Search

آموزش استفاده کند. سیاست مربوطه از طریق ارتباط بین Q^* و π^* به دست می‌آید و اقداماتی که توسط عامل یادگیری Q انجام می‌شود به صورت زیر است:

$$(s) = \arg \max_a Q_\theta(s, a) \quad (1-2)$$

میان یابی^۱ بین بهینه‌سازی سیاست و یادگیری- Q : به طرز عجیبی، بهینه‌سازی سیاست و یادگیری- Q با یکدیگر ناسازگار نیستند و تحت برخی شرایط حتی می‌توانند معادل باشند. الگوریتم‌های وجود دارند که در این طیف قرار می‌گیرند و می‌توانند به دقیقت بین نقاط قوت و ضعف هر دو روش تعادل برقرار کنند. این الگوریتم‌ها به بهره‌گیری از ویژگی‌های خوب هر دو روش DDPG کمک می‌کنند و می‌توانند در شرایط مختلف عملکرد بهتری داشته باشند. مثالی از این الگوریتم‌ها DDPG است. یک الگوریتم است که به طور همزمان یک سیاست تعیین‌کننده^۲ و یکتابع Q ^۳ را می‌آموزد. این الگوریتم از هر کدام برای بهبود دیگری استفاده می‌کند. به عبارت دیگر، سیاست تعیین‌کننده برای بهبود تابع Q و تابع Q برای بهبود سیاست تعیین‌کننده به کار می‌رود. این تعامل به الگوریتم اجازه می‌دهد تا به طور موثرتری بهینه‌سازی را انجام دهد و عملکرد بهتری در محیط‌های پیچیده داشته باشد. شکل ۲-۲ تصویر مناسبی از این دسته بندی‌ها را نشان می‌دهد [۱۹].



شکل ۲-۲: دسته بندی در حوزه یادگیری تقویتی

¹ Interpolating

² Deep Deterministic Policy Gradient

³ Deterministic Policy

⁴ Q-Function

فصل سوم

عوامل تأثیرگذار بر خاصیت بازتولیدی الگوریتم‌های یادگیری تقویتی

۱-۳ پیش‌زمینه فنی

این تحقیق به چندین الگوریتم یادگیری تقویتی بدون مدل مبتنی بر گرادیان سیاست پرداخته که پیاده‌سازی‌های آن‌ها به صورت عمومی در دسترس است و به طور گسترده در مقالات علمی به عنوان معیار مقایسه با روش‌های جدید به کار می‌روند. ما الگوریتم‌های بهینه‌سازی سیاست ناحیه اطمینان^۱ [۸]، گرادیان‌های سیاست قطعی عمیق^۲ [۱۱]، بهینه‌سازی سیاست پروگزیمال^۳ [۷]، و بازیگر-منتقد با استفاده از ناحیه اطمینان فاکتوری کرونتکر^۴ [۲۰] را مورد بررسی قرار دادیم. این الگوریتم‌ها نتایج خوبی در وظایف کنترل پیوسته در محیط OpenAI Gym [۲۱] از MuJoCo [۲۲] نشان داده‌اند.

این الگوریتم‌ها عموماً به دنبال بهینه‌سازی پاداش تخفیفی مورد انتظار،

$$\rho(\theta, s_0) = \mathbb{E}_{\pi\theta} [\sum_{t=0}^{\infty} \gamma^t r(s_t) | s_0] \quad (1-3)$$

با استفاده از تئوری گرادیان سیاست هستند که بیان می‌کند:

$$\frac{\delta \rho(\theta, s_0)}{\delta \theta} = \sum_s \mu_{\pi\theta}(s|s_0) \sum_a \frac{\delta \pi_{\theta}(a|s)}{\delta \theta} Q_{\pi\theta}(s|a) \quad (2-3)$$

اینجا

$$\mu_{\pi\theta}(s|s_0) = \sum_{t=0}^{\infty} \gamma^t P(s_t = s|s_0) \quad (3-3)$$

[۲۳]

از TRPO^۵ و PPO^۶ از محدودیت‌های^۵ و تخمین مزیت^۶ برای انجام این بهروزرسانی استفاده می‌کند و مسئله بهینه‌سازی را به صورت زیر بازنویسی می‌کند:

¹ TRPO

² DDPG

³ PPO

⁴ ACKTR

⁵ Constraints

⁶ Advantage

$$\max_{\theta} \mathbb{E}_t \left[\frac{\pi_{\theta}(a_t | s_t)}{\pi_{\theta_{old}}(a_t | s_t)} A_t(s_t, a_t) \right] \quad (4-3)$$

اینجا (A_t) تابع مزیت تعمیم یافته [۲۴] است. از روش نزول گرادیان مزدوج با یک محدودیت KL استفاده می‌کند:

$$\mathbb{E}_t \left[KL[\pi_{\theta_{old}}(\cdot | s_t), \pi_{\theta}(\cdot, s_t)] \right] \leq \delta \quad (5-3)$$

PPO محدودیت را به عنوان یک جریمه (یا هدف برش) بازنویسی می‌کند.

الگوریتم‌های ACKTR و DDPG از روش بازیگر-منتقد استفاده می‌کنند. در این روش، ابتدا تابع ارزش^۱ که نشان‌دهنده مطلوبیت یک حرکت در یک وضعیت خاص است، تخمین زده می‌شود. سپس یک سیاست بهینه می‌شود که این تابع ارزش را بر اساس عرضه مونت کارلو^۲ رول‌اوت بیشینه کند.

تفاوت اصلی DDPG و ACKTR در نوع سیاست‌هایی است که استفاده می‌کنند. DDPG از سیاست‌های قطعی^۳ استفاده می‌کند، یعنی برای هر وضعیت، یک حرکت خاص را انتخاب می‌کند. اما ACKTR از سیاست‌های تصادفی^۴ بهره می‌برد که در آن‌ها برای هر وضعیت، یک توزیع احتمال^۵ بر روی حرکات وجود دارد. برای اطمینان از پایداری^۶ در سیاست‌های تصادفی، ACKTR از روش مناطق اعتماد فاکتور کرونتکر^۷ استفاده می‌کند. این روش باعث می‌شود تغییرات در سیاست، محدود و کنترل شده باشند تا از ناپایداری‌ها جلوگیری شود.

۲-۳ تحلیل آزمایشی

در این بخش، به بررسی عواملی می‌پردازیم که بر قابلیت بازتولید روش‌های پیشرفته یادگیری تقویتی تأثیرگذار هستند. برای این منظور، مجموعه‌ای از آزمایش‌ها طراحی و اجرا شد تا اثرات این عوامل بررسی شوند. موارد زیر مورد توجه قرار گرفتند:

۱. تنظیم ابرپارامترها: بررسی تأثیر تنظیمات نامناسب ابرپارامترها بر عملکرد الگوریتم‌ها.
۲. دانه‌های تصادفی و تعداد تکرارها: ارزیابی اثر دانه‌های تصادفی و تعداد دفعات تکرار آزمایش بر نتایج.
۳. ویژگی‌های محیط: بررسی چگونگی تأثیرگذاری ویژگی‌های خاص محیط بر عملکرد الگوریتم‌ها.
۴. معماری شبکه: ارزیابی تأثیر انتخاب معماری شبکه برای تقریب تابع ارزش و سیاست بر عملکرد.
۵. کدهای پایه: بررسی تفاوت‌های عملکرد الگوریتم‌ها به دلیل تفاوت در کدهای پایه، با ثابت نگه داشتن سایر عوامل.

برای اکثر آزمایش‌ها، از پیاده‌سازی‌های موجود در OpenAI Baselines برای الگوریتم‌های ACKTR [۲۰]، PPO [۲۱]، DDPG [۲۲]، MuJoCo [۲۳] TRPO استفاده شد. محیط‌های مورد استفاده شامل HalfCheetah-v1 و Hopper-v1 از مجموعه [۲۵]

¹ Actor-Critic

² Q Function

³ Monte Carlo Rollout

⁴ Deterministic

⁵ Stochastic

⁶ Probability Distribution

⁷ Stability

⁸ Kronecker Factored Trust Regions

در [۲۲] OpenAI Gym بودند که دینامیک اهای متفاوتی دارند و به بررسی اثرات مختلف کمک می‌کنند. برای اطمینان از نتایج منصفانه، هر آزمایش پنج بار با دانه‌های تصادفی متفاوت اجرا شده است (همه آزمایش‌ها از مجموعه یکسانی از دانه‌های تصادفی استفاده کردند). در این گزارش، جز در مواردی که به طور مشخص ذکر شده، از تنظیمات پیش‌فرض استفاده شده و تنها ابرپارامترهای مورد بررسی تغییر یافته‌اند. در همه آزمایش‌ها از تقریب‌زن‌های پرسپترون چندلایه^۱ استفاده شد. اندازه لایه‌های مخفی^۲ و توابع فعال‌سازی^۳ به صورت (N, M) نمایش داده شده‌اند. برای تنظیمات پیش‌فرض، ابرپارامترهای تحت بررسی به نوبت تغییر یافتند. برای DDPG از ساختار شبکه (ReLU^۴, $64, 64$) برای هر دو بخش عامل و منتقد، برای TRPO و PPO از ساختار ($tanh, 64, 64$) برای سیاست، و برای ACKTR از ساختار ($tanh, 64, 64$) برای عامل و ($ELU, 64, 64$) برای منتقد استفاده شده است.

۱-۲-۳ ابرپارامترها

انتخاب دقیق ابرپارامترها می‌تواند نقش بسیار مهمی در بهینه‌سازی نتایج الگوریتم‌ها داشته باشد. با این حال، در بسیاری از مقالات مرتبط، انتخاب تنظیمات بهینه ابرپارامترها یکسان نیست و محدوده مقادیر مورد بررسی به ندرت گزارش می‌شود. علاوه بر این، انتخاب نادرست ابرپارامترها می‌تواند به مقایسه ناعادلانه‌ای با الگوریتم‌های پایه منجر شود. در اینجا، به بررسی جنبه‌های مختلف انتخاب ابرپارامتر و تأثیر آن‌ها بر عملکرد الگوریتم‌ها می‌پردازیم.

۲-۲-۳ دانه‌های تصادفی و تعداد آزمایش‌ها

یکی از دغدغه‌های اصلی در یادگیری تقویتی عمیق، تفاوت نتایج به خاطر تصادفی بودن محیط یا فرآیند یادگیری مثل مقداردهی اولیه تصادفی وزن‌هاست [۲۰؛ ۲۶]. بنابراین، حتی اگر نتایج چند آزمایش با دانه‌های کاملاً متفاوت را میانگین بگیریم، ممکن است به نتایج گمراه کننده‌ای بررسیم. ما این موضوع را از طریق یک آزمایش بررسی می‌کنیم. نتایج: ما ۱۰ آزمایش را با همان تنظیمات ابرپارامتر انجام دادیم، فقط دانه‌های تصادفی را در هر ۱۰ آزمایش تغییر دادیم. سپس آزمایش‌ها را به دو گروه ۵ تایی تقسیم کرد و میانگین هر گروه را محاسبه کردیم. همانطور که در شکل ۱-۳ می‌بینید، عملکرد الگوریتم‌ها می‌تواند بسیار متفاوت باشد. نشان می‌دهیم که تفاوت بین اجراهای به قدری زیاد است که فقط با تغییر دانه‌های تصادفی، توزیع‌های آماری کاملاً متفاوتی به دست می‌آید. متأسفانه در نتایج گزارش شده اخیر، گاهی فقط بهترین N آزمایش از میان چندین آزمایش انتخاب شده [۲۰؛ ۲۶] یا نتایج روی تعداد کمی آزمایش ($N < 5$) میانگین گرفته شده است [۲۷؛ ۲۰]. آزمایش ما نشان می‌دهد که این کار می‌تواند گمراه کننده باشد. به خصوص برای HalfCheetah، امکان دارد منحنی‌های یادگیری به دست آمده اصلاً در یک توزیع قرار نگیرند، فقط به این خاطر که میانگین اجراهای مختلف با همان ابرپارامترها اما دانه‌های متفاوت گرفته شده است. اگرچه نمی‌توان تعداد دقیقی از آزمایش‌ها را توصیه کرد، شاید بتوان از روش‌های تحلیل توان^۵ برای پیشنهاد یک تعداد تقریبی استفاده کرد، اما نیاز به بررسی بیشتری برای حل این مشکل است.

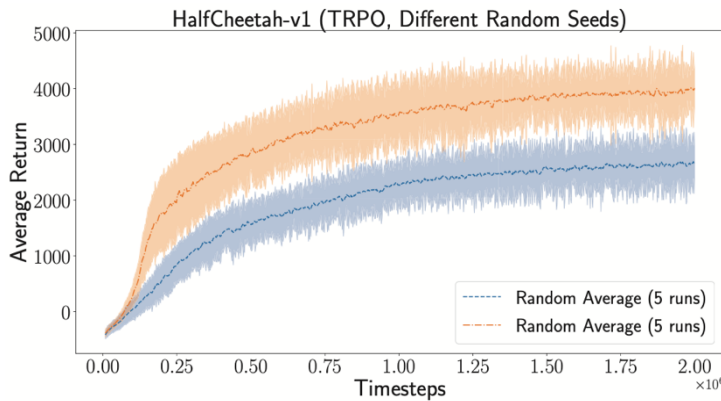
¹ Dynamic

² Multi Layer Perceptron

³ Hidden Layers

⁴ Activation Functions

⁵ Power Analysis



شکل ۳-۱: اجرای TRPO بر روی HalfCheetah-v1 با استفاده از همان تنبیمات ابربارامترها به طور میانگین بر روی دو مجموعه از ۵ بذر تصادفی مختلف. میانگین آزمون t دو نمونه‌ای در کل توزیع آموزشی به نتیجه $t = -9.0916$ و $p = 0.0016$ رسید.

۳-۲-۳ ویژگی‌های محیط

برای ارزیابی اینکه انتخاب محیط چگونه می‌تواند بر نتایج تاثیر بگذارد، از مجموعه‌ای از ابربارامترهای پیش‌فرض در الگوریتم‌های مختلف استفاده کردیم و بررسی کردیم که هر الگوریتم در مجموعه‌ای از وظایف کنترل پیوسته چقدر خوب عمل می‌کند. برای این آزمایش‌ها، از محیط‌های روبرو از OpenAI Gym استفاده کردیم: Hopper-v1، HalfCheetah-v1، Walker2d-v1 و Swimmer-v1. انتخاب محیط نقش مهمی در نشان دادن عملکرد یک الگوریتم جدید نسبت به الگوریتم‌های موجود دارد. در وظایف کنترل پیوسته، محیط‌ها معمولاً دارای رفتارهای تصادفی، مسیرهای کوتاه‌تر یا ویژگی‌های دینامیکی متفاوت هستند. ما نشان می‌دهیم که به دلیل این تفاوت‌ها، عملکرد الگوریتم‌ها می‌تواند در محیط‌های مختلف متفاوت باشد و بهترین الگوریتم برای همه محیط‌ها همیشه مشخص نیست. بنابراین، ارائه نتایج برای طیف گسترده‌ای از محیط‌ها اهمیت دارد و نباید فقط محیط‌هایی را انتخاب کنیم که کار جدید ما نسبت به محیط‌های دیگر بهتر عمل کند. نتایج: همانطور که در شکل ۴ نشان داده شده است، در محیط‌هایی با دینامیک پایدار مثل Hopper-v1، HalfCheetah-v1، Walker2d-v1 و Swimmer-v1 عملکرد بهتری نسبت به بقیه دارد. اما با ناپایدارتر شدن دینامیک مثل DDPG در Hopper-v1 عملکرد کاهش می‌یابد. چون DDPG یک روش بدون سیاست است، نویز ناشی از اکتشاف^۱ می‌تواند باعث شکست آهای ناگهانی در محیط‌های ناپایدار شود. بنابراین، یادگیری یک تخمین درست از مقدار Q برای بازده‌های مورد انتظار دشوار است، خصوصاً وقتی که بسیاری از مسیرهای اکتشافی منجر به شکست می‌شوند. چون شکست‌ها در چنین وظایفی با مسیرهای کوتاه‌تر مشخص می‌شوند، یک بهینه محلی^۲ در این حالت فقط زنده ماندن تا حد اکثر طول مسیر (که معادل هزار گام زمانی و پاداش مشابه به خاطر پاداش بقا در حالت Hopper-v1 است) می‌باشد. همانطور که در شکل ۳-۲ مشاهده می‌شود، DDPG در دقیقاً همین کار را انجام می‌دهد. این یک مثال واضح است که نشان می‌دهد تنها نشان دادن HalfCheetah پایدار و مناسب هنگام گزارش آزمایش‌های مبتنی بر DDPG ناعادلانه است. علاوه بر این، محیط Swimmer-v1 را در نظر بگیریم که در شکل ۳-۲ نشان داده شده است. در اینجا، TRPO به طور قابل توجهی عملکرد بهتری نسبت به سایر الگوریتم‌ها دارد. به دلیل دینامیک

¹ Trajectory

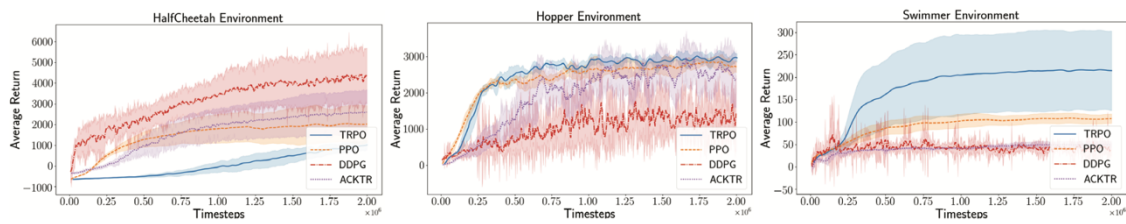
² Exploration

³ Failure

⁴ Return

⁵ Local Optimal

محیط شبیه به آب، یک بینه محلی برای سیستم این است که جمع شود و بدون شنا کردن صحیح تکان بخورد. اما این وضعیت منجر به بازده حدود ۱۳۰ می‌شود. با رسیدن به یک بینه محلی، نمودارهای یادگیری می‌توانند بینه‌سازی موفقیت‌آمیز سیاست را در طول زمان نشان دهند، در حالی که در واقع بازده‌های به دست آمده نمایانگر رفتار مطلوب نیستند، همانطور که در ویدئویی^۱ از سیاست یادگرفته شده نشان داده است. بنابراین، مهم است که نه تنها بازده‌ها، بلکه نمایش‌هایی از سیاست یادگرفته شده در عمل نشان داده شود. بدون درک اینکه ارزیابی بازده‌ها چه چیزی را نشان می‌دهد، ممکن است نتایج گمراه‌کننده‌ای گزارش شود که در واقع تنها بینه‌های محلی را بیشینه می‌کند، نه رسیدن به رفتار مطلوب.



شکل ۲-۳: عملکرد چندین الگوریتم گرادیان سیاست در مجموعه محیط‌های معیار MuJoCo

۴-۲-۳ معماری شبکه

مطالعات قبلی نشان داده‌اند که معماری شبکه^۲ سیاست می‌تواند نتایج را در الگوریتم‌های TRPO و DDPG به طور قابل توجهی تحت تأثیر قرار دهد [۶]. علاوه بر این، برخی تابع‌های فعال‌ساز مانند واحد خطی تصحیح شده^۳ ممکن است به دلیل مشکل "رلو مرده"^۴ باعث کاهش عملکرد یادگیری شوند. [۲۸] بنابراین، ما معماری شبکه و توابع فعال‌ساز را برای هر دو تقریب‌زن RBF و شبکه‌های عصبی متفاوت است. [۲۹] جداول ۱ و ۲ خلاصه‌ای از عملکرد یادگیری شبکه‌های ارزیابی تمام تغییرات معماری پس از آموزش روی ۲ میلیون نمونه (یعنی ۲ میلیون گام زمانی در محیط) را نشان می‌دهند. ما سه معماری متقاضی پرسپترون چندلایه (MLP) را بررسی کردیم: (۶۴، ۶۴)، (۴۰۰، ۴۰۰)، (۲۵، ۵۰)، (۱۰۰، ۱۰۰) و (۳۰۰، ۲۵). علاوه بر این، توابع فعال‌ساز شبکه‌های ارزش و سیاست را در میان تانزانت هیپربولیک^۵، ReLU و Leaky ReLU تغییر دادیم. نتایج نشان می‌دهد که عملکرد می‌تواند با تغییرات ساده در توابع فعال‌ساز شبکه‌های سیاست یا ارزش به شدت تحت تأثیر قرار گیرد. معمولاً Leaky ReLU یا ReLU در میان محیط‌ها و الگوریتم‌ها بهترین عملکرد را دارند. این اثرات در الگوریتم‌ها یا محیط‌های مختلف یکسان نیستند. این ناهمگونی نشان می‌دهد که معماری شبکه چقدر به روش الگوریتم وابسته است. به عنوان مثال، استفاده از یک شبکه بزرگ با PPO ممکن است نیاز به تنظیم ابرپارامترهای دیگری مانند میزان محدودیت ناحیه اطمینان یا نرخ یادگیری^۶ داشته باشد تا با تغییر معماری جبران شود. این بازی پیچیده ابرپارامترها یکی از دلایل دشواری تکرار پذیری روش‌های گرادیان سیاست فعلی است. انتخاب معماری مناسب برای نتایج پایه‌ای صحیح بسیار مهم است. این همچنین نیاز احتمالی به الگوریتم‌های بی‌توجه به ابرپارامتر را پیشنهاد

¹ Video [Link](#)

² Network Architecture

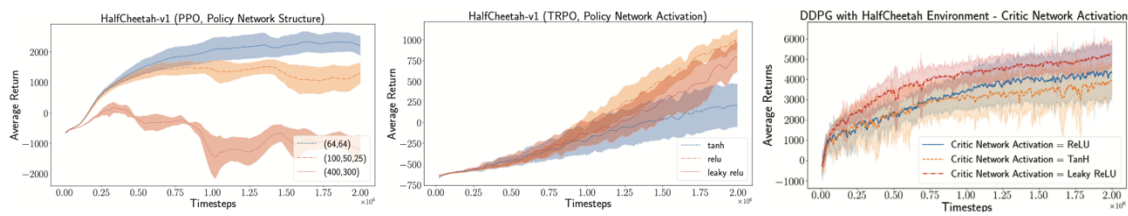
³ ReLU

⁴ Dying Relu

⁵ Hyperbolic Tangent (tanh)

⁶ Learning Rate

می‌کند – یعنی الگوریتم‌هایی که انطباق ابزار امتیز را بخشی از طراحی در نظر می‌گیرند – تا بتوان مقایسه‌های منصفانه‌ای بدون نگرانی از تنظیمات نامناسب برای کار در دست انجام داد.



شکل ۳-۳: اهمیت معماری شبکه سیاست و توابع فعال‌سازی: PPO (چپ)، TRPO (وسط) و DDPG (راست).

Algorithm	Environment	400,300	64,64	100,50,25	tanh	ReLU	LeakyReLU
TRPO [8]	Hopper-v1	2980 ± 35	2674 ± 227	3110 ± 78	2674 ± 227	2772 ± 211	-
	HalfCheetah-v1	1791 ± 224	1939 ± 140	2151 ± 27	1939 ± 140	3041 ± 161	-
TRPO [9]	Hopper-v1	1243 ± 55	1303 ± 89	1243 ± 55	1303 ± 89	1131 ± 65	1341 ± 127
	HalfCheetah-v1	738 ± 240	834 ± 317	850 ± 378	834 ± 317	784 ± 352	1139 ± 364
TRPO [7]	Hopper-v1	2909 ± 87	2828 ± 70	2812 ± 88	2828 ± 70	2941 ± 91	2865 ± 189
	HalfCheetah-v1	-155 ± 188	205 ± 256	306 ± 261	205 ± 256	1045 ± 114	778 ± 177
PPO [7]	Hopper-v1	61 ± 33	2790 ± 62	2592 ± 196	2790 ± 62	2695 ± 86	2587 ± 53
	HalfCheetah-v1	-1180 ± 444	2201 ± 323	1314 ± 340	2201 ± 323	2971 ± 364	2895 ± 365
DDPG [25]	Hopper-v1	1419 ± 313	1632 ± 459	2142 ± 436	1491 ± 205	1632 ± 459	1384 ± 285
	HalfCheetah-v1	5579 ± 354	4198 ± 606	5600 ± 601	5325 ± 281	4198 ± 606	4094 ± 233
DDPG [27]	Hopper-v1	600 ± 126	593 ± 155	501 ± 129	436 ± 48	593 ± 155	319 ± 127
	HalfCheetah-v1	2845 ± 589	2771 ± 535	1638 ± 624	1638 ± 624	2771 ± 535	1405 ± 511
DDPG [9]	Hopper-v1	506 ± 208	749 ± 271	629 ± 138	354 ± 91	749 ± 271	-
	HalfCheetah-v1	850 ± 41	1573 ± 385	1224 ± 553	1311 ± 271	1573 ± 385	-
ACKTR [20]	Hopper-v1	2577 ± 529	1608 ± 66	2287 ± 946	1608 ± 66	2835 ± 503	2718 ± 434
	HalfCheetah-v1	2653 ± 408	2691 ± 231	2498 ± 112	2621 ± 381	2160 ± 151	2690 ± 231

جدول ۳-۱: نتایج تغییرات معماری سیاست ما در میان پیاده سازی ها و الگوریتم های مختلف. میانگین نهایی \pm خطای استاندارد در عرض ۵ آزمایش از بازده ها در طول ۱۰۰ مسیر آخر پس از ۲ میلیون نمونه آموختی. برای ACKTR، از تابع فعال ساز ELU استفاده می‌کنیم.

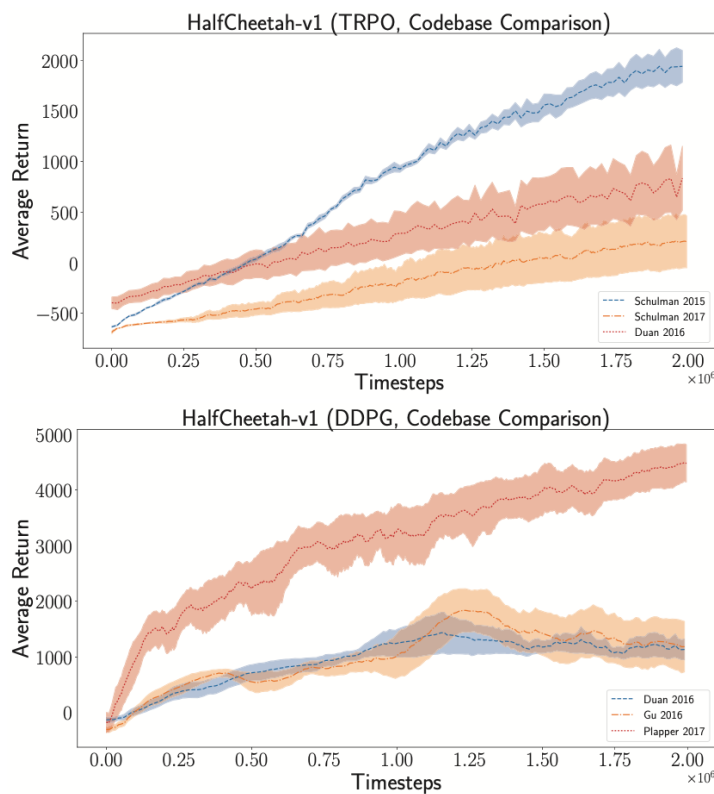
Algorithm	Environment	400,300	64,64	100,50,25	tanh	ReLU	LeakyReLU
TRPO [8]	Hopper-v1	3011 ± 171	2674 ± 227	2782 ± 120	2674 ± 227	3104 ± 84	-
	HalfCheetah-v1	2355 ± 48	1939 ± 140	1673 ± 148	1939 ± 140	2281 ± 91	-
TRPO [7]	Hopper-v11	2909 ± 87	2828 ± 70	2812 ± 88	2828 ± 70	2829 ± 76	3047 ± 68
	HalfCheetah-v1	178 ± 242	205 ± 256	172 ± 257	205 ± 256	235 ± 260	325 ± 208
PPO [7]	Hopper-v11	2704 ± 37	2790 ± 62	2969 ± 111	2790 ± 62	2687 ± 144	2748 ± 77
	HalfCheetah-v1	1523 ± 297	2201 ± 323	1807 ± 309	2201 ± 323	1288 ± 12	1227 ± 462
DDPG [25]	Hopper-v1	1419 ± 312	1632 ± 458	1569 ± 453	971 ± 137	852 ± 143	843 ± 160
	HalfCheetah-v1	5600 ± 601	4197 ± 606	47134374	3908 ± 293	4197 ± 606	5324 ± 280
DDPG [27]	Hopper-v1	523 ± 248	343 ± 34	345 ± 44	436 ± 48	343 ± 34	-
	HalfCheetah-v1	1373 ± 678	1717 ± 508	1868 ± 620	1128 ± 511	1717 ± 508	-
DDPG [9]	Hopper-v1	1208 ± 423	394 ± 144	380 ± 65	354 ± 91	394 ± 144	-
	HalfCheetah-v1	789 ± 91	1095 ± 139	988 ± 52	1311 ± 271	1095 ± 139	-
ACKTR [20]	Hopper-v1	152 ± 47	1930 ± 185	1589 ± 225	691 ± 55	500 ± 379	1930 ± 185
	HalfCheetah-v1	2653 ± 408	2691 ± 231	2498 ± 112	2621 ± 381	2160 ± 151	2690 ± 231

جدول ۳-۲: نتایج تغییرات معماری تابع ارزش (Q) یا در میان پیاده سازی ها و الگوریتم های مختلف. میانگین نهایی \pm خطای استاندارد در عرض ۵ آزمایش از بازده ها در طول ۱۰۰ مسیر آخر پس از ۲ میلیون نمونه آموختی. Leaky ReLU، به جای ACKTR، از تابع فعال ساز ELU استفاده می‌کنیم.

۵-۲-۳ کدهای پایه

در بسیاری از موارد، نویسندهای نسخه‌های خود را از الگوریتم‌های مبنا برای مقایسه پیاده‌سازی می‌کنند. ما پیاده‌سازی مبنای TRPO از الگوریتم OpenAI که در Schulman et al. ۲۰۱۷ استفاده شده، کد اصلی [۸]، و پیاده‌سازی rllabplusplus با Tensorflow در [۹] را بررسی می‌کنیم. همچنین پیاده‌سازی‌های Theano [۶]، rllab [۲۷] و TRPO [۲۵] را مقایسه می‌کنیم. هدف ما توجه به تفاوت‌های عملکرد به دلیل جزئیات پیاده‌سازی در الگوریتم‌ها است. ما زیرمجموعه‌ای از آزمایش‌های معماری خود را با استفاده از پیاده‌سازی‌های OpenAI baselines و همان ابزارهای انجام می‌دهیم.

نتایج: ما متوجه شدیم که تفاوت‌های پیاده‌سازی که اغلب در مقالات منعکس نمی‌شوند، می‌توانند تأثیرات چشمگیری بر عملکرد داشته باشند. این را می‌توان در عملکرد نهایی ارزیابی کرد. ما پس از آموزش روی ۲ میلیون نمونه در جداول ۱ و ۲، و همچنین یک مقایسه نمونه در شکل ۴-۳ مشاهده کرد. این نشان می‌دهد که جزئیات پیاده‌سازی باید شرح داده شوند، کدها همراه با مقالات منتشر شوند، و عملکرد آزمایش‌های مبنا در کارهای جدید با کدهای اصلی مقالات مطابقت داشته باشد.



شکل ۴-۳: مقایسه کد پایه TRPO با استفاده از مجموعه پیش‌فرض ابزارهای ما (همانطور که در آزمایش‌های دیگر استفاده شده است).

۳-۳ گزارش معیارهای ارزیابی

در این بخش، برخی از معیارهای ارزیابی که معمولاً در مطالعات یادگیری تقویتی استفاده می‌شوند را بررسی می‌کنیم. در عمل، الگوریتم‌های یادگیری تقویتی معمولاً با نمایش نمودارها یا جداول از پاداش تجمعی متوسط (بازده متوسط) و اخیراً پاداش حداقل به دست آمده در تعداد معینی از گام‌های زمانی ارزیابی می‌شوند. به دلیل ناپایدار بودن بسیاری از این الگوریتم‌ها، صرفاً گزارش پادash‌های حداقلی برای مقایسه منصفانه کافی نیست؛ حتی گزارش بازده متوسط نیز می‌تواند

گمراه‌کننده باشد زیرا دامنه عملکرد در بین آزمایش‌ها و دانه‌های تصادفی متفاوت است. این گزارش‌ها ممکن است به تنها‌ی، تصویر واضحی از عملکرد یک الگوریتم ارائه ندهند. با این حال، هنگامی که با فواصل اطمینان^۱ ترکیب شوند، ممکن است برای گرفتن تصمیمی آگاهانه^۲ کافی باشند به شرطی که تعداد آزمایش‌ها کافی باشد. از این‌رو، ما استفاده از روش‌های بوت‌استرپ^۳ و آزمون معناداری مشابه یادگیری ماشین (مانند مطالعات [۳۰] و [۳۱]) را برای ارزیابی عملکرد الگوریتم‌ها بررسی می‌کنیم.

۱-۳-۳ تفاوت بین مشاهده برهنخ^۴ و بهینه‌سازی سیاست

یک تفاوت مهم در گزارش نتایج یادگیری تقویتی مشاهده برهنخ و بهینه‌سازی سیاست است. در مشاهده برهنخ، عامل در طول فرآیند یادگیری بهینه‌سازی بازده‌ها را هدف قرار می‌دهد و مسیر عامل پایانی ندارد. در این حالت، ارزیابی‌ها می‌توانند شامل پاداش‌های تجمعی متوسط در طول کل فرآیند یادگیری باشند. این روش به تعادل بین اکتشاف و بهره‌برداری^۵ توجه دارد و معمولاً از پاداش‌های تجمعی متوسط در طول زمان برای ارزیابی استفاده می‌شود، همانطور که در مطالعات [۳۲] آمده است. همچنین، ممکن است از روش‌های ارزیابی برونو خط^۶ نیز استفاده شود، همانطور که در مطالعه [۳۳] دیده می‌شود. در مقابل، بهینه‌سازی سیاست رویکرد دیگری است که در آن ارزیابی با استفاده از یک سیاست هدف در حالت برونو خط انجام می‌شود. در این دیدگاه، ارزیابی‌ها باید در طول کل مسیر وظیفه با یک سیاست هدف واحد انجام شوند تا بازده‌های متوسطی که سیاست هدف می‌تواند به دست آورد، مشخص شود. این روش به ما اجازه می‌دهد تا عملکرد یک سیاست مشخص را در شرایطی ثابت و کنترل شده ارزیابی کنیم.

۲-۳-۳ فواصل اطمینان

روش بوت‌استرپ به عنوان یک روش محبوب برای به دست آوردن بینشی از توزیع یک جمعیت^۷ با استفاده از یک نمونه^۸ کوچکتر شناخته می‌شود. این تکنیک به خصوص در آزمایش‌های A/B بسیار پر کاربرد است و می‌توانیم از ایده‌های این حوزه بهره‌بگیریم. معمولاً یک تخمین‌گر^۹ بوت‌استرپ با بازنمونه‌گیری^{۱۰} مکرر با جایگزینی ایجاد می‌شود تا میانگین آماری معتبر و حدود اطمینان به دست آید. با استفاده از این روش، می‌توانیم به بازه اطمینان^{۱۱} ۹۵٪ نتایج بخش محیط‌های خود دست پیدا کنیم.

جدول ۳ نشان‌دهنده میانگین بوت‌استرپ و حدود اطمینان٪ در آزمایش‌های محیطی ما است. حدود اطمینان می‌تواند بسته به الگوریتم‌ها و محیط‌ها بسیار متغیر باشند. ما مشاهده کردیم که الگوریتم‌های TRPO و PPO از پایدارترین‌ها هستند و حدود اطمینان کوچکی از بوت‌استرپ دارند. در مواردی که حدود اطمینان بسیار بزرگ است، ممکن است نیاز باشد تعداد آزمایش‌ها را افزایش دهیم (یعنی اندازه نمونه را بیشتر کنیم).

¹ Confidence Intervals

² Informed

³ Bootstrap

⁴ Online

⁵ Exploitation

⁶ Offline

⁷ Population

⁸ Sample

⁹ Estimator

¹⁰ Resampling

¹¹ Confidence Interval

۳-۳-۳ تحلیل توان

یکی دیگر از روش‌های تعیین نیاز به بیشتر شدن حجم نمونه، تحلیل توان^۱ بوت استرپ است [۳۴]. اگر از نمونه موجود استفاده کنیم و به آن یک افزایش^۲ یکنواخت^۳ اعمال کنیم (مثلاً با ضریب ۰.۲۵ به طور یکنواخت افزایش دهیم)، می‌توانیم شبیه‌سازی‌های بوت استرپ متعددی را اجرا کنیم و مشخص کنیم که چه درصدی از این شبیه‌سازی‌ها منجر به مقادیر آماری معنادار با این افزایش می‌شوند. اگر درصد کمی از مقادیر معنادار باشند، به نمونه بزرگتری نیاز داریم (باید آزمایشات بیشتری انجام شود). ما این کار را در تمامی آزمایش‌های محیطی انجام دادیم و به این نتیجه رسیدیم که در تنظیمات ناپایدارتر، درصد توان بوت استرپ به نتایج غیرمعنادار در آزمایش افزایش متمایل است. بر عکس، در آزمایش‌های پایدار (مثلاً TRPO در Hopper-v1) با نمونه‌های کوچک، آزمایش افزایش نشان داد که نیازی به آزمایش‌های بیشتر برای ایجاد مقایسه‌های معنادار نیست.

۴-۳-۳ اهمیت^۴

یک عامل مهم در انتخاب الگوریتم یادگیری تقویتی، اهمیت دستاوردهای گزارش شده بر اساس یک معیار مشخص است. چندین پژوهش به استفاده از معیارهای اهمیت برای ارزیابی قابلیت اطمینان معیارهای ارزیابی در یادگیری ماشین پرداخته‌اند. با این حال، تحقیقات کمی در یادگیری تقویتی به ارزیابی اهمیت معیارهای گزارش شده می‌پردازند. بر اساس نتایج تجربی ما که نشان می‌دهد عملکرد الگوریتم‌ها می‌تواند به شدت با تغییرات تصادفی در دانه‌های تصادفی متفاوت باشد، واضح است که به یک معیار برای ارزیابی اهمیت دستاوردهای عملکرد الگوریتم و اطمینان از معیارهای گزارش شده نیاز است. در حالی که تحقیقات و بررسی‌های بیشتری برای تعیین بهترین معیارها برای ارزیابی الگوریتم‌های یادگیری تقویتی لازم است، ما یک مجموعه اولیه از معیارها را بر اساس نتایج یادگیری ماشین بررسی می‌کنیم.

در یادگیری نظارت شده^۵، معیارهای اهمیتی مانند t-test، k-fold t-test، باز نمونه گیری تصحیح شده^۶ و دیگر معیارها برای مقایسه نتایج یادگیری ماشین مورد بحث قرار گرفته‌اند [۳۱] و [۳۵]؛ با این حال، فرضیاتی که مربوط به داده‌های اصلی با معیارهای اصلاح شده است، الزاماً در یادگیری تقویتی قابل اعمال نیستند. برای بررسی آزمون‌های اهمیت اصلاح شده مناسب برای یادگیری تقویتی به تحقیقات بیشتری نیاز است.

با این وجود، ما چندین معیار اهمیت را بررسی می‌کنیم که نشان می‌دهند آیا یک الگوریتم جدید واقعاً به اندازه الگوریتم‌های پیشرفته عمل می‌کند یا خیر. ما ۲ t-test نمونه‌ای ساده (مرتب‌سازی تمام بازده‌های نهایی ارزیابی در میان N آزمایش تصادفی با دانه‌های تصادفی مختلف)، آزمون کولموگروف-اسمیرنوف^۷ و تفاوت درصدی بوت استرپ با فواصل اطمینان ۹۵٪ را در نظر می‌گیریم. تمامی معیارهای محاسبه شده در مواد تكمیلی قابل مشاهده هستند. به طور کلی، ما دریافتیم که مقادیر اهمیت با انتظارات ما مطابقت دارند. به عنوان مثال، مقایسه عملکرد ACKTR^۸ و DDPG را در نظر بگیرید. عملکرد ACKTR کمی بهتر است، اما این عملکرد به دلیل همپوشانی فواصل اطمینان دو الگوریتم معنادار نیست: $t = 1.03$ ، $p = 0.334$ ، $KS = 0.40$ ، $p = 0.697$ ، $t = 0.40$ ، $p = 0.8062$ ، $KS = 0.4447$ (٪ ۱۱۱.۷۲٪).

¹ Power

² Lift

³ Uniform

⁴ Significance

⁵ Gain

⁶ Supervised Learning

⁷ Corrected

⁸ Kolmogorov-Smirnov Test

Environment	DDPG	ACKTR	TRPO	PPO
HalfCheetah-v1	5037 (3664, 6574)	3888 (2288, 5131)	1254.5 (999, 1464)	3043 (1920, 4165)
Hopper-v1	1632 (607, 2370)	2546 (1875, 3217)	2965 (2854, 3076)	2715 (2589, 2847)
Walker2d-v1	1582 (901, 2174)	2285 (1246, 3235)	3072 (2957, 3183)	2926 (2514, 3361)
Swimmer-v1	31 (21, 46)	50 (42, 55)	214 (141, 287)	107 (101, 118)

جدول ۳-۳: میانگین بوت استرپ و حدود اطمینان ۹۵٪ برای زیرمجموعه‌ای از آزمایش‌های از ۱۰ هزار تکرار بوت استرپ و روش محوری استفاده شده است.

۴-۳ نتیجه کلی:

از طریق آزمایش‌های متغیر کنترل بر روشنی گردیدن سیاست برای کنترل پیوسته، ما مشکلات قابلیت باز تولید در یادگیری تقویتی عمیق را بررسی کردیم. دریافتیم که هم منابع درونی (مانند دانه‌های تصادفی و ویژگی‌های محیط) و هم منابع بیرونی (نظیر ابرپارامترها و کددهای پایه) عدم قطعیت می‌توانند به دشواری‌های قابلیت باز تولید الگوریتم‌های پایه کمک کنند. بر اساس نتایج آزمایش‌ها، برخی توصیه‌های کلی را می‌توان ارائه داد: ابرپارامترها می‌توانند اثرات متفاوتی بر الگوریتم‌ها و محیط‌ها داشته باشند. بنابراین یافتن مجموعه‌ای که حداقل عملکرد گزارش شده اولیه الگوریتم‌های پایه را تکرار کند، مهم است. همچنین پیاده‌سازی‌های جدید برای مقایسه باید با نتایج کد پایه اصلی مطابقت داشته باشند. با توجه به واریانس بالا در میان آزمایش‌ها و دانه‌های تصادفی، باید آزمایش‌های متعددی با دانه‌های مختلف انجام شود. استفاده از آزمون‌های معنی‌دار مناسب برای تعیین اینکه آیا بازده‌های بالاتر نشان‌دهنده عملکرد بهتر هستند یا نه، ضروری است. گزارش همه جزئیات از جمله ابرپارامترها، پیاده‌سازی، تنظیمات آزمایشی و روش‌های ارزیابی برای هم روش‌های مقایسه پایه و هم کارهای جدید، مهم‌ترین گام برای قابلیت باز تولید است. بدون انتشار پیاده‌سازی‌ها و جزئیات مربوطه، تلاش‌های بیهوده برای تکرار کارهای برتر، جامعه را آزار خواهد داد و پیشرفت را کند می‌کند.

پیوست اول

شبکه های عصبی و توابع فعال سازی

توابع فعال سازی، برای تعیین خروجی شبکه های عصبی، مانند بله یا خیر استفاده می شوند. این توابع، یک نگاشت بین مقادیر حاصل (خروجی) و بازه $0 \dots 1$ یا $1 - 0$ (بسته به تابع) ایجاد می کنند. توابع فعال سازی، به دو دسته خطی^۱ و غیر خطی^۲ تقسیم بندی می شوند. توابع فعال سازی غیر خطی، پر استفاده ترین توابع فعال سازی هستند، زیرا این ویژگی، تعمیم یا انطباق مدل با انواع داده ها و تمایز بین خروجی ها را برای مدل آسان می کند. در اینجا، به معرفی برخی از توابع فعال سازی غیر خطی پر کاربرد می پردازیم:

- **تابع Sigmoid:** منحنی این تابع، شبیه به شکل حرف S است. دلیل اصلی استفاده از این تابع این است که برد آن، بازه $(0, 1)$ است. از آنجایی که احتمال هر چیزی مقداری بین $0 \dots 1$ است، بنابراین این تابع به ویژه برای مدل هایی که باید احتمال را به عنوان خروجی پیش بینی کنیم، انتخاب درستی است و استفاده می شود. این تابع همچنین می تواند باعث شود که شبکه عصبی در زمان آموزش، گیر کند.
- **تابع Tanh:** منحنی این تابع نیز، شبیه به شکل حرف S است و محدوده آن، بازه $(-1, 1)$ است. مزیت این تابع این است که ورودی های منفی، به مقادیر به شدت منفی و ورودی های صفر، به مقادیر نزدیک به صفر، نگاشت می شوند.
- **تابع Tanh، عمده تا برای طبقه بندی^۳ استفاده می شود.**
- **تابع ReLU:** از آنجایی که این تابع در تقریبا تمام شبکه های عصبی پیچشی^۴ و یادگیری عمیق استفاده می شود، در حال حاضر پر استفاده ترین تابع فعال سازی است. همان طور که در شکل آ-۱-۱ می بینید، این تابع برابر 0 است وقتی ورودی آن کمتر از 0 (منفی) باشد و برابر ورودی اش است وقتی ورودی آن بیشتر یا مساوی 0 (نامنفی) باشد. مسئله اصلی این تابع این است که تمام مقادیر منفی، بالا فاصله $0 \dots 0$ می شوند، بنابراین نگاشت خوبی از مقادیر منفی ایجاد نمی شود که این موضوع توانایی مدل را برای برآش^۵ یا آموزش صحیح از داده ها کاهش می دهد. این مشکل، در واقع همان مشکل رلو مرده است که به آن اشاره کردیم.
- **تابع Leaky Relu:** این تابع، تلاشی برای حل مشکل رلو مرده است. همان طور که در شکل آ-۱-۱ می بینید، وجود نشت^۶ به افزایش محدوده تابع کمک می کند. معمولاً، مقدار a (شیب خط در قسمت منفی) برابر 0.001 در نظر گرفته می شود.

¹ Linear

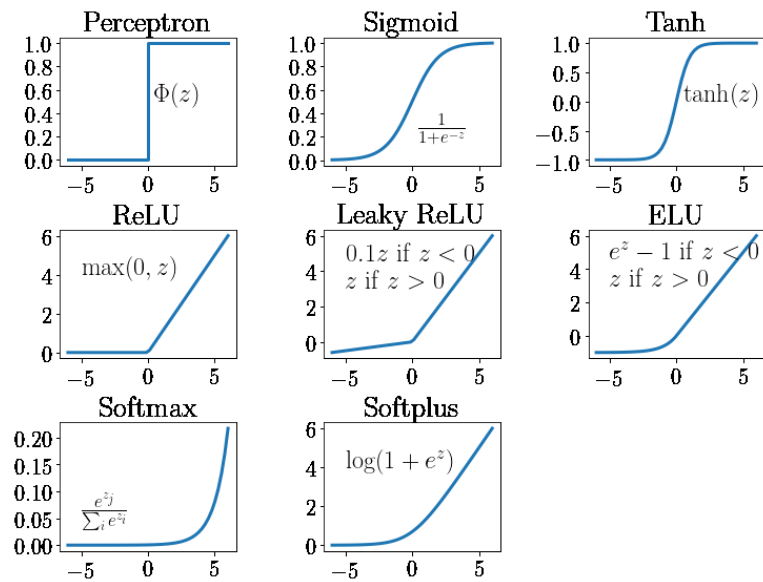
² Non-Linear

³ Classification

⁴ Convolutional

⁵ Fitting

⁶ Leak



شکل آ-1: برخی توابع فعال سازی پر کاربرد، به همراه رابطه و نمودار آنها

مراجع

- [1] Lillicrap, T. P., Hunt, J. J., Pritzel, A., Heess, N., Erez, T., Tassa, Y., Silver, D., and Wierstra, D., “Continuous control with deep reinforcement learning,” *arXiv preprint arXiv:1509.02971*, 2015.
- [2] Silver, D., Huang, A., Maddison, C. J., Guez, A., Sifre, L., Van Den Driessche, G., Schrittwieser, J., Antonoglou, I., Panneershelvam, V., Lanctot, M., et al., “Mastering the game of go with deep neural networks and tree search,” *Nature*, vol. 529, no. 7587, pp. 484-489, 2016.
- [3] Mnih, V., Kavukcuoglu, K., Silver, D., Graves, A., Antonoglou, I., Wierstra, D., and Riedmiller, M., “Playing atari with deep reinforcement learning,” *arXiv preprint arXiv:1312.5602*, 2013.
- [4] Vinyals, O., Ewalds, T., Bartunov, S., Georgiev, P., Vezhnevets, A. S., Yeo, M., Makhzani, A., Küttler, H., Agapiou, J., Schrittwieser, J., et al., “Starcraft ii: A new challenge for reinforcement learning,” *arXiv preprint arXiv:1708.04782*, 2017.
- [5] Silva, V. d. N., and Chaimowicz, L., “Moba: a new arena for game ai,” *arXiv preprint arXiv:1705.10443*, 2017.
- [6] Islam, R., Henderson, P., Gomrokchi, M., and Precup, D., “Reproducibility of benchmarked deep reinforcement learning tasks for continuous control,” in *ICML Reproducibility in Machine Learning Workshop*, 2017.
- [7] Schulman, J., Wolski, F., Dhariwal, P., Radford, A., and Klimov, O., “Proximal policy optimization algorithms,” *arXiv preprint arXiv:1707.06347*, 2017.
- [8] Schulman, J., Levine, S., Abbeel, P., Jordan, M., and Moritz, P., “Trust region policy optimization,” in *Proceedings of the 32nd International Conference on Machine Learning (ICML)*, 2015.
- [9] Duan, Y., Chen, X., Houthooft, R., Schulman, J., and Abbeel, P., “Benchmarking deep reinforcement learning for continuous control,” in *Proceedings of the 33rd International Conference on Machine Learning (ICML)*, 2016.
- [10] Whiteson, S., Tanner, B., Taylor, M. E., and Stone, P., “Protecting against evaluation overfitting in empirical reinforcement learning,” in *2011 IEEE Symposium on Adaptive Dynamic Programming And Reinforcement Learning, ADPRL 2011*, Paris, France, Apr. 12-14, 2011, pp. 120-127.

- [11] Machado, M. C., Bellemare, M. G., Talvitie, E., Veness, J., Hausknecht, M., and Bowling, M., “Revisiting the arcade learning environment: Evaluation protocols and open problems for general agents,” *arXiv preprint arXiv:1709.06009*, 2017.
- [12] Wagstaff, K., “Machine learning that matters,” *arXiv preprint arXiv:1206.4656*, 2012.
- [13] Boulesteix, A.-L., Lauer, S., and Eugster, M. J., “A plea for neutral comparison studies in computational sciences,” *PloS One*, vol. 8, no. 4, p. e61562, 2013.
- [14] Stodden, V., Leisch, F., and Peng, R. D., *Implementing reproducible research*, CRC Press, 2014.
- [15] Bouckaert, R. R., and Frank, E., “Evaluating the replicability of significance tests for comparing learning algorithms,” in *Proc. PAKDD*, 2004, pp. 3-12.
- [16] Bouckaert, R. R., “Estimating replicability of classifier learning experiments,” in *Proceedings of the 21st International Conference on Machine Learning (ICML)*, 2004.
- [17] Vaughan, R., and Wawerla, J., “Publishing identifiable experiment code and configuration is important, good and easy,” *arXiv preprint arXiv:1204.2235*, 2012.
- [18] Sutton, R. S., and Barto, A. G., “Reinforcement Learning: An Introduction”, 2nd ed., in progress, 2014, 2015.
- [19] Achiam, J., “Spinning Up Documentation”, Release, Feb. 07, 2020.
- [20] Wu, Y., Mansimov, E., Liao, S., Grosse, R., and Ba, J., “Scalable trust-region method for deep reinforcement learning using kronecker-factored approximation,” *arXiv preprint arXiv:1708.05144*, 2017.
- [21] Todorov, E., Erez, T., and Tassa, Y., “Mujoco: A physics engine for model-based control,” in *2012 IEEE/RSJ International Conference on Intelligent Robots and Systems (IROS 2012)*, Vilamoura, Algarve, Portugal, Oct. 7-12, 2012, pp. 5026-5033.
- [22] Brockman, G., Cheung, V., Pettersson, L., Schneider, J., Schulman, J., Tang, J., and Zaremba, W., “OpenAI gym,” *arXiv preprint arXiv:1606.01540*, 2016.
- [23] Sutton, R. S., McAllester, D. A., Singh, S. P., and Mansour, Y., “Policy gradient methods for reinforcement learning with function approximation,” in *Advances in Neural Information Processing Systems (NIPS)*, 2000.
- [24] Schulman, J., Moritz, P., Levine, S., Jordan, M., and Abbeel, P., “High-dimensional continuous control using generalized advantage estimation,” *arXiv preprint arXiv:1506.02438*, 2015.
- [25] Plappert, M., Houthooft, R., Dhariwal, P., Sidor, S., Chen, R., Chen, X., Asfour, T., Abbeel, P., and Andrychowicz, M., “Parameter space noise for exploration,” *arXiv preprint arXiv:1706.01905*, 2017.
- [26] Mnih, V., Badia, A. P., Mirza, M., Graves, A., Lillicrap, T., Harley, T., Silver, D., and Kavukcuoglu, K., “Asynchronous methods for deep reinforcement learning,” in *International Conference on Machine Learning*, 2016, pp. 1928-1937.
- [27] Gu, S., Lillicrap, T., Ghahramani, Z., Turner, R. E., Schölkopf, B., and Levine, S., “Interpolated policy gradient: Merging on-policy and off-policy gradient estimation for deep reinforcement learning,” *arXiv preprint arXiv:1706.00387*, 2017.

- [28] Xu, B., Wang, N., Chen, T., and Li, M., “Empirical evaluation of rectified activations in convolutional network,” arXiv preprint arXiv:1505.00853, 2015.
- [29] Rajeswaran, A., Lowrey, K., Todorov, E., and Kakade, S., “Towards generalization and simplicity in continuous control,” arXiv preprint arXiv:1703.02660, 2017.
- [30] Kohavi, R., et al., “A study of cross-validation and bootstrap for accuracy estimation and model selection,” in IJCAI, vol. 14, 1995.
- [31] Nadeau, C., and Bengio, Y., “Inference for the generalization error,” in Advances in Neural Information Processing Systems (NIPS), 2000.
- [32] Hofer, L., and Gimbert, H., “Online reinforcement learning for real-time exploration in continuous state and action Markov decision processes,” *arXiv preprint arXiv:1612.03780*, 2016.
- [33] Mandel, T., Liu, Y.-E., Brunskill, E., and Popovic, Z., “Offline evaluation of online reinforcement learning algorithms,” in *Proceedings of the AAAI Conference on Artificial Intelligence (AAAI)*, 2016.
- [34] Yuan, K.-H., and Hayashi, K., “Bootstrap approach to inference and power analysis based on three test statistics for covariance structure models,” *British Journal of Mathematical and Statistical Psychology*, vol. 56, no. 1, pp. 93-110, 2003.
- [35] Bouckaert, R. R., and Frank, E., “Evaluating the replicability of significance tests for comparing learning algorithms,” in *Proceedings of the 8th Pacific-Asia Conference on Knowledge Discovery and Data Mining (PAKDD)*, 2004, pp. 3-12, Springer.
- [36] Wilcox, R., “Kolmogorov–Smirnov test,” in *Encyclopedia of Biostatistics*, 2005.

Deep Reinforcement Learning

Parniyan Malekzadeh

p.malekzadeh@ec.iut.ac.ir

June 15, 2024

Department of Electrical and Computer Engineering

Isfahan University of Technology, Isfahan 84156-83111, Iran

Degree: B.Sc.

Language: Farsi

Supervisor: Prof. Mohammad Hossein Manshaei (manshaei@cc.iut.ac.ir)

Abstract:

In recent years, significant progress has been made in solving challenging problems across various domains using deep reinforcement learning (RL). Reproducing existing work and accurately judging the improvements offered by novel methods is vital to sustaining this progress. Unfortunately, reproducing results for state-of-the-art deep RL methods is seldom straightforward. In particular, non-determinism in standard benchmark environments, combined with variance intrinsic to the methods, can make reported results tough to interpret. Without significance metrics and tighter standardization of experimental reporting, it is difficult to determine whether improvements over the prior state-of-the-art are meaningful. In this paper, we investigate challenges posed by reproducibility, proper experimental techniques, and reporting procedures. We illustrate the variability in reported metrics and results when comparing against common baselines and suggest guidelines to make future results in deep RL more reproducible. We aim to spur discussion about how to ensure continued progress in the field by minimizing wasted effort stemming from results that are non-reproducible and easily misinterpreted.

Key Words: Deep Reinforcement Learning, Reproducability, Experimental Techniques, Benchmark Environments.

